

УДК 621.378.826:533.9

Ю.П. Захаров, А.М. Оришич, В.Н. Снытников,  
И.Ф. Шайхисламов

## ИСПОЛЬЗОВАНИЕ ПРОЦЕССА ПЕРЕЗАРЯДКИ В СПЕКТРАЛЬНОЙ ДИАГНОСТИКЕ ПЛАЗМЕННЫХ ПОТОКОВ

В настоящее время как в натурных экспериментах по инжекции плазменных облаков в околоземном космическом пространстве [1], так и в соответствующих модельных лабораторных опытах [2, 3] широко применяются методы оптической диагностики.

Однако известные оптические методы, основанные на регистрации собственного свечения плазмы, применяются в этих экспериментах лишь для качественного анализа и иногда могут приводить к ошибочным выводам (см. ниже). Это связано с тем, что в нестационарной плазме возбуждение ионов неравновесно, определяется процессами рекомбинации или электронным ударом и сильно зависит от такого трудноопределимого параметра, как температура электронов.

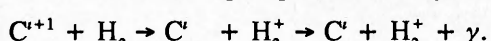
В [4] экспериментально, в условиях, типичных для моделирования взрывных космофизических процессов, был исследован перезарядный механизм возбуждения свечения отдельных линий многозарядных ионов лазерной плазмы. Перезарядное возбуждение осуществлялось на нейтральном газе, напускаемом в вакуумную камеру.

В настоящей работе на основе результатов этих исследований предлагается новый способ измерения распределения концентрации ионов плазменных потоков посредством регистрации свечения линий, возбуждаемых в процессе перезарядки. Описывается применение нового метода в экспериментах по моделированию взаимодействия быстро расширяющегося плазменного облака с магнитным полем. Для сравнения приводятся данные, получаемые при регистрации собственного свечения плазмы, возбуждаемого в процессе рекомбинации.

Представленные экспериментальные данные излагаются с точки зрения демонстрации возможностей нового метода оптической диагностики. Более полное описание результатов с физической точки зрения и их анализ не являются целью настоящей работы.

Теоретическая модель. Рассмотрим для простоты свободно расширяющееся сферическое облако плазмы, создаваемое, например, воздействием лазерного излучения на мишень малого размера [4]. Как будет видно, результаты легко обобщить на случай потоков плазмы другой геометрии.

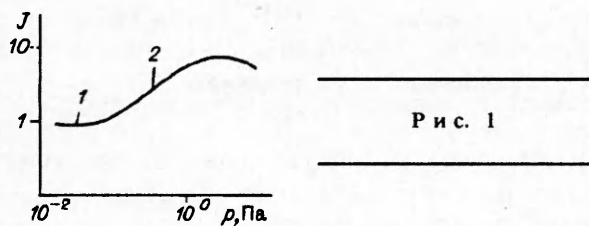
Известно, что линейчатое свечение такой плазмы, расширяющейся в вакуум, имеет чисто рекомбинационный характер. При напуске фонового газа (при условии, что длина упругих столкновений между плазмой и газом намного больше размера области наблюдений) за счет реакции перезарядки появляется свечение, связанное с перезарядным возбуждением ионов:



Здесь  $i$  — заряд иона;  $H_2$  (молекулярный водород) — фоновый газ, использовавшийся в экспериментах;  $\gamma$  — квант света.

Линии иона  $i$  с главным квантовым числом  $n = i + 1$  показывают наибольшую чувствительность к перезарядке [5, 6]. Зависимость свечения таких линий от давления газа была исследована в [4]. На рис. 1 показана для примера такая зависимость для линии 580,1 нм иона  $C^{+3}$  при расстоянии до мишени 2 см. Отмечены участок преобладания рекомбинационного свечения 1 и перезарядного свечения 2.

© Ю.П. Захаров, А.М. Оришич, В.Н. Снытников, И.Ф. Шайхисламов, 1994



Р и с. 1

Уравнения, описывающие перезарядное взаимодействие и свечение лазерной плазмы с фоновым газом, имеют вид

$$\frac{\partial n_i}{\partial t} + \operatorname{div} n_i v = -n_i(n_* \sigma_i v + 1/\tau'_i) + n_{i+1}(n_* \sigma_{i+1} v + 1/\tau'^{i+1}),$$

$$\frac{\partial n_*}{\partial t} = -n_* \sum_i n_i \sigma_i v, \quad J_i \sim n_{i+1}(n_* \sigma_{i+1} v + 1/\tau'^{i+1}),$$

где  $n_*$  — концентрация фона;  $n_i$  — концентрация ионов заряда  $i$ ;  $\sigma_i$  — сечение перезарядки;  $\tau'_i$  — время рекомбинации иона заряда  $i$  в  $i-1$ ;  $v$  — локальная скорость ионов облака;  $J_i$  — интенсивность свечения линий иона. Предполагается, что время высыпчивания возбужденных ионов много меньше других характерных времен.

Будем считать, что  $n_* \sigma_i v \gg 1/\tau'_i$  и рекомбинацией можно пренебречь. Предположим также, что  $n_i \gg n_{i+1}$ , что верно для высокозарядных ионов. Тогда уравнения имеют формальные решения:

$$n_i = n_i^0(R, t) \exp[-X_i], \quad X_i = \int_0^t n_*(R(t), t) \sigma_i v dt,$$

$$n_* = n_*^0 \exp[-Y], \quad Y = \int_0^t \sum_i n_i(R, t) \sigma_i v dt,$$

$$J_{i-1} \sim n_*^0 n_i^0(R, t) \sigma_i v \exp[-Y - X_i].$$

Здесь  $n_i^0(R, t)$  — распределение концентрации ионов в отсутствие фона (искомая величина);  $n_*^0$  — концентрация фона в отсутствие облака; интеграл для  $X_i$  берется вдоль траектории движения элемента облака;  $R$  — расстояние до точки взрыва;  $t$  — время наблюдения.

Для показателей экспонент  $X_i$  и  $Y$  можно провести ограничивающие оценки:  $X_i \leq n_*^0 \sigma_i R \equiv R/\lambda_i$  ( $\lambda_i$  — длина перезарядки иона  $i$ ),  $Y \leq (R_c/R)^2$ ,

$R_c = \sqrt{\sum_i N_i^0 \sigma_i}$  ( $N_i^0$  — полное число ионов  $i$  облака, пролетевших через точку наблюдения в единичном телесном угле).

Как видно, возмущение ионов облака из-за перезарядки происходит на расстояниях  $R \gtrsim \lambda_i$ , а возмущение фона — на  $R \lesssim R_c$ . Поэтому при  $R_c \ll \lambda_i$  указанные неравенства для  $X_i$  и  $Y$  стремятся к равенству.

Итак, в приближении  $R_c \ll \lambda_i$  для свечения имеем

$$J_{i-1}(R, t) \sim n_i^0(R, t) \sigma_i v \exp[-(R_c/R)^2 - R/\lambda_i].$$

В итоге для искомой концентрации ионов получим

$$(1) \quad n_i^0(R, t) \sim (J_{i-1}(R, t)/\sigma_i v) \exp[(R_c/R)^2 + R/\lambda_i].$$

В пространственном интервале  $R_c < R \ll \lambda_i$  выполняется простая зависимость

$$n_i^0(R, t) \sim J_{i-1}(R, t)/\sigma_i v.$$

Таким образом, свечение плазмы в линиях, возбуждаемых преимущественно в процессе перезарядки, дает относительное пространственное распре-

деление концентрации ионов. Переход к абсолютным значениям требует калибровки свечения путем сравнения с данными, получаемыми другими методами измерений.

Помимо этого, сравнение рекомбинационного и перезарядного свечения линии иона позволяет получить относительное распределение величины  $f = n_e^2 / T_e^{9/2}$  в плазме. Для используемого в данной работе иона  $C^{+4}$  рекомбинация будет трехчастичной с временем рекомбинации  $\tau_r \sim T_e^{9/2} / n_e^2$ . Предполагая, что при напуске газа перезарядная накачка наблюдаемой линии многое больше рекомбинационной, получим

$$(2) \quad f \sim J_0 / J_r,$$

где  $J_0$  — свечение линии без напуска газа;  $J_r$  — свечение с газом.

**Схема экспериментов.** Опыты проводились на стенде КИ-1 в камере длиной 5 м и диаметром 1,2 м [7] в однородном магнитном поле  $B_0 \leq 0,06$  Тл. Для создания облака плазмы использовался  $CO_2$ -усилитель, генерирующий колоколообразный импульс с шириной на полувысоте 100 нс. В качестве мишени использовалась капролоновая ( $C_6H_{11}ON$ ) сферическая таблетка диаметром 5 мм. При облучении таблетки с двух противоположных направлений пучками излучения, сфокусированными в пятна диаметром 7 мм, создавалось близкое к сферическому облако плазмы с полным числом частиц  $N$  в диапазоне  $(0,8 \div 2) \cdot 10^{17}$  и характерной скоростью расширения фронта  $v = (1 \div 2) \cdot 10^7$  см/с [8].

По данным времяпролетного масс-анализатора ионов [9] лазерная плазма состояла из протонов ( $\approx 50\%$ ), ионов углерода  $C^{+4}$  ( $\approx 40\%$ ) и ионов  $C^{+1}, C^{+2}, C^{+3}$  ( $\approx 10\%$ ). Основная энергия облака ( $\approx 80\%$ ) и заряд были сосредоточены в слое ионов  $C^{+4}$ , а низкозарядные ионы образовывали медленно движущийся поток ( $v \leq (3 \div 6) \cdot 10^6$  см/с). Около 20 % энергии облака приходилось на протонный предвестник ( $v = 2 \cdot 10^7$  см/с).

Для регистрации свечения плазмы применялся электронно-оптический преобразователь, работающий в кадровом режиме, с длительностью экспозиции 50 нс и пространственным разрешением 0,5 см. Необходимый спектральный интервал выделялся интерференционным фильтром. Соответствие диапазона пропускания фильтра наблюдаемой линии свечения плазмы исследовалось в отдельном опыте с применением монохроматора с фотоэлектрической регистрацией.

Контрольные измерения концентрации плазмы проводились двойными электрическими зондами Ленгмюра, а структура возмущения магнитного поля — экранированными магнитными зондами [10].

Свечение плазмы регистрировалось либо в спектральном интервале  $\Delta\lambda = 300 \div 690$  нм, определяемом чувствительностью фотокатода ЭОПа, либо с применением фильтра на линии 580,1 нм ( $\Delta\lambda = 5$  нм) иона  $C^{+3}$ . Эта линия максимально возбуждается при перезарядке иона  $C^{+4}$  на  $H_2$  с сечением перезарядки  $\sigma = (3 \div 6) \cdot 10^{-15}$  см<sup>2</sup> [6]. Давление остаточного газа в камере  $3 \cdot 10^{-4}$  Па. Для возбуждения перезарядки напускался водород до давления  $p = (1 \div 3) \cdot 10^{-2}$  Па.

Из параметров экспериментов следует, что  $R_c = \sqrt{\frac{N\sigma}{4\pi}} \lesssim 5$  см,  $\lambda = 1/n_*\sigma \geq 25$  см, т.е. условие  $R_c \ll \lambda$  выполнено. Регистрировались четыре типа свечения плазмы:  $J_0$  — свечение без напуска газа и применения фильтра — рекомбинационное свечение плазмы,  $J_\phi$  — свечение без газа с фильтром — рекомбинационное свечение линии иона  $C^{+3}$ ,  $J_r$  — свечение с напуском газа без фильтра,  $J_{r,\phi}$  — свечение с газом и фильтром — перезарядное свечение линии иона  $C^{+3}$ .

Давление газа выбиралось таким, чтобы выполнялось условие

$$(3) \quad J_{r,\phi} / J_\phi \gg 1.$$

В проведенных экспериментах это отношение было не менее 10. Необходимо отметить, что вблизи мишени всегда преобладает рекомбинация. В приведенных данных эта область имела размеры  $R \leq 3 + 4$  см и составляла пренебрежимо малую часть от полного объема плазмы.

Процедура обработки экспериментальных данных. Из полученной фотографии необходимо восстановить истинное пространственное распределение свечения плазмы. Для объектов, близких к осесимметричным, применялась процедура абеллизации.

Абсолютная калибровка формулы (1) проводилась по интегральной характеристике — полное число  $N$  ионов  $C^{+4}$  в облаке, которое находилось по зондовым и масс-спектроскопическим измерениям.

На рис. 2 показаны для сравнения распределение по радиусу концентрации электронов  $n_e$  в облаке, измеренное зондом (кривая 1) и рассчитанное описанным выше способом по фотографическим данным (кривая 2). Облако расширяется в фоновой водородной плазме с примесью нейтрального компонента и во внешнем однородном магнитном поле 0,01 Тл. Концентрация фоновой плазмы показана штриховой линией. Время измерения 2 мкс.

Ошибка измерений, присущая данному методу определяется тем, насколько точно выполняются неравенство (3) и уравнение (1). Относительную ошибку можно записать как

$$\delta = O(J_\phi / J_{\text{рф}}) + O(R_c / \lambda).$$

В проведенных экспериментах эта величина составляла 15—20 %. Условие самопоглощения квантов для линии 580,1 нм иона  $C^{+3}$  имеет вид  $n_{C^{+3}} \geq 3 \cdot 10^{15} 1/\text{см}^3$  [11]. В нашем случае расширяющаяся плазма становилась оптически тонкой за время 0,2—0,25 мкс.

Результаты экспериментов. В таблице представлены условия экспериментов, при которых получены фотографии на рис. 3—5. Описаны наличие или отсутствие нейтрального газа и фильтра, величина однородного магнитного поля в камере, масштаб фотографий и время фотографирования.

На рис. 3, 4 магнитное поле направлено перпендикулярно плоскости изображения, на рис. 5 — параллельно. На рис. 3,  $\alpha$  и 4,  $\alpha$  отложены для сравнения кривые почертения  $D$  фотопленок в одном из направлений от мишени. Кривые помечены соответствующими им номерами фотографий. Показаны также профили магнитного поля в тот же момент времени.

Обсуждение результатов. В предшествующих экспериментах [2, 12] было установлено, что основным параметром, определяющим режим взаимодействия сферического облака с однородным магнитным полем  $B_0$ , является  $\epsilon_B = R_H / R_B$ , где  $R_H = v_0 M c / Z e B_0$  — ларморовский радиус ионов с массой  $M$ , зарядом  $Z$  и скоростью  $v_0$ , а  $R_B = (3E_0 / B_0^2)^{1/3}$  — классический радиус [13] торможения полем облака с начальной энергией  $E_0$ .

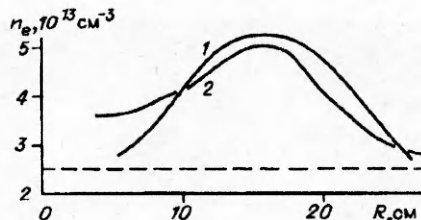
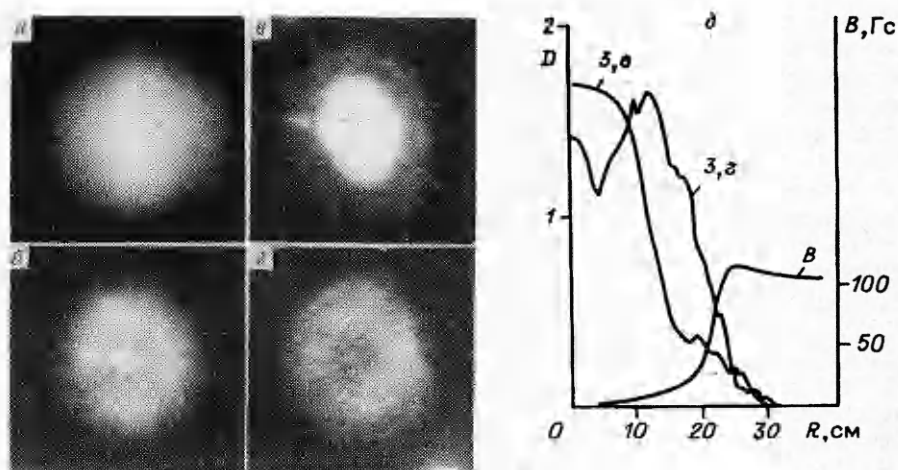
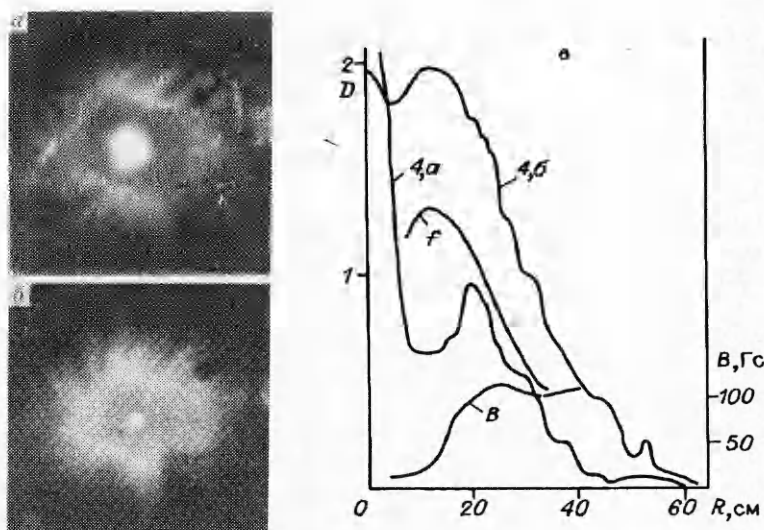


Рис. 2

Номер рисунка	Газ	Фильтр	$B_0$ , Тл	Масштаб	$t$ , мкс
3, $\alpha$	—	—	0	1 : 24	1,65
3, $\beta$	+	+	0	1 : 24	1,65
3, $\gamma$	—	—	0,01	1 : 24	1,65
3, $\delta$	+	+	0,01	1 : 24	1,65
4, $\alpha$	—	—	0,01	1 : 48	3,2
4, $\beta$	+	+	0,01	1 : 48	3,2
5, $\alpha$	—	—	0,062	1 : 10	3
5, $\beta$	+	—	0,062	1 : 10	3
5, $\gamma$	+	+	0,062	1 : 10	3



Р и с. 3



Р и с. 4

Влияние магнитного поля на собственное свечение плазмы экспериментально исследовалось в [4, 14]. В [4] было показано, что рекомбинационное свечение плазмы при включении поля уменьшается. Это связано с тем, что за счет взаимодействия плазмы с полем в токовом слое происходит нагрев электронов, что приводит к снижению скорости рекомбинации.

Характер взаимодействия облака плазмы с магнитным полем при  $\epsilon_B \geq 1$  иллюстрируют рис. 3 и 4. В этом эксперименте  $R_B \approx 30$  см,  $R_H \approx 45$  см и характерное время  $t_B = R_B/v_0 = 2$  мкс. В данном режиме [15] на начальном этапе расширения облако вытесняет поле из своего объема и формирует магнитную каверну радиусом  $R_B/2$ . Далее, по мере расширения происходит развитие желобковой неустойчивости границы облака и аномально быстрое проникновение поля в плазму. Плазма при этом, не испытывая существенного торможения, распространяется перпендикулярно  $B_0$  в виде струй вплоть до масштаба  $R_H$ .

Раннюю стадию расширения облака иллюстрирует рис. 3. Рис. 3, б и г показывают, что на распределение перезарядного свечения, которое отражает концентрацию плазмы, магнитное поле при  $t = 1,65$  мкс  $< t_B$  практически не

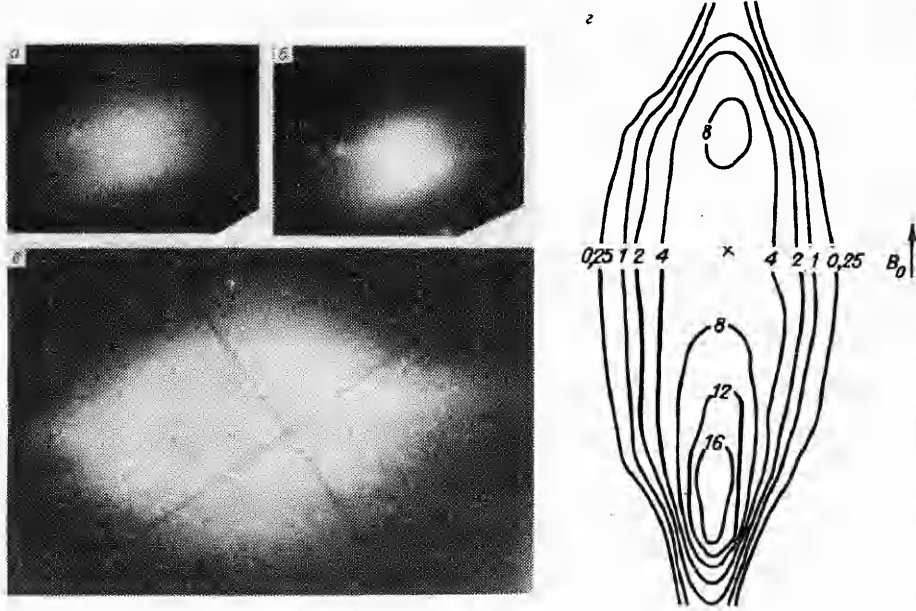


Рис. 5

влияет. В отличие от него собственное свечение плазмы сильно изменяется при включении поля (рис. 3, а, в). Из рис. 3, д видно, что это свечение существенно уменьшается в области градиента  $B$ , т.е. в области протекания тока.

Поздняя стадия взаимодействия изображена на рис. 4, где показана развитая желобковая структура. Из рис. 4, в видно, что собственное рекомбинационное свечение плазмы так же, как и при малых  $t$ , обусловлено температурой электронов в облаке — свечение подавлено на фронте и имеет минимум в области протекания тока. Напротив, перезарядное свечение показывает слабое торможение фронта и имеет максимум на границе каверны, что свидетельствует о поджатии плазмы магнитным давлением при  $t \geq t_b$ . На рис. 4, в построен также профиль относительной температуры электронов, рассчитанный по формуле (2).

При  $\epsilon_B \leq 1$  плазма испытывает сильное торможение [2, 12] и на временах  $t \geq t_b$  формирует близкое к газодинамическому течению с преимущественным распространением вдоль магнитного поля [16]. Результаты эксперимента в этих условиях ( $R_H \approx 7,3$  см,  $R_b \approx 8,9$  см и  $t_b \approx 0,6$  мкс) представлены на рис. 5. Видно, что интегральное по спектру свечение плазмы как без газа, так и с газом не отражает структуру плазмы, поскольку носит преимущественно рекомбинационный характер. Аналогичные фотографии плазмы в сходных условиях были получены также в [17]. И только перезарядное свечение, полученное при напуске газа и применении фильтра, отчетливо показывает подробную картину течения в виде «бутылки» с узкой горловиной размером порядка  $R_H$ , направленной вдоль магнитного поля.

Структура течения позволяет провести количественную процедуру обработки, описанную выше. На рис. 5, г приведены изолинии концентрации ионов  $C^{+4}$  (в единицах  $10^{12} \text{ см}^{-3}$ ), полученные из рис. 5, в. Крестиком отмечено положение мишени. Масштаб рисунка 1:10.

Таким образом, проведенные эксперименты показали, что применение перезарядки для возбуждения ионов дает возможность измерять распределение концентрации ионов в плазменных потоках. Новая методика позволяет количественно применять оптическую диагностику для исследования динамики плазменных потоков в магнитных полях.

Авторы благодарны А.Г. Пономаренко за полезное обсуждение работы и В.Г. Посуху за неоценимую помощь в проведении экспериментов.

#### ЛИТЕРАТУРА

1. Bernhardt P.A., Roussel-Dupre R.A., Pongratz M.B. et al. Observations and theory of the AMPTE magnetotail barium releases // J. Geophys. Res. — 1987. — V. 92, N A6. — P. 5777—5795.
2. Захаров Ю.П., Оришич А.М., Пономаренко А.Г. Лазерная плазма и лабораторное моделирование нестационарных космических процессов. — Новосибирск: ИТПМ СО АН СССР, 1988.
3. Ripin B.H., Manka C.K., Peysier T.A. et al. Laboratory laser-produced astrophysical-like plasmas // Laser and particle beams. — 1990. — V. 8, N 1/2. — P. 183—190.
4. Оришич А.М., Шайхисламов И.Ф. Спектральная диагностика плазмы, расширяющейся в фоновый газ и магнитное поле // ПМТФ. — 1992. — № 3. — С. 13—19.
5. Бруйар Ф., Мак-Гоэн Д. Физика ион-ионных и электрон-ионных столкновений. — М.: Мир, 1986.
6. Takagi S., Ohtani S., Kadota K., Fugita J. Cross-section for one-electron capture by highly stripped ions of Be, B, C from H<sub>2</sub> and Ar below 10 Kev // J. Phys. Soc. Jap. — 1983. — V. 52, N 11.
7. Геворкян Л.Б., Оришич А.М., Пономаренко А.Г. и др. О развитии методов моделирования некоторых астрофизических явлений в лабораторном эксперименте // Физическая газодинамика: Сб. науч. тр. Аэрофизические исследования. — Новосибирск: ИТПМ СО АН СССР, 1976. — Вып. 6. — С. 192—196.
8. Авдыева А.А., Захаров Ю.П., Максимов В.В. и др. Создание сферических облаков лазерной плазмы двухсторонним облучением // ПМТФ. — 1989. — № 6. — С. 62—66.
9. Антонов В.М. Особенности диагностики корпускулярного состава параметров интенсивных потоков лазерной плазмы на стенде КИ-1 // Мощные CO<sub>2</sub>-лазеры для плазменных экспериментов и технологий: Сб. научн. тр. / Под ред. А.Г. Пономаренко. — Новосибирск: ИТПМ СО АН СССР, 1986. — С. 117—124.
10. Захаров Ю.П. Особенности зондовых методов исследования взаимодействия потоков лазерной плазмы с замагниченной фоновой средой // Там же. — С. 125—132.
11. Лукьянов С.Ю. Диагностика плазмы. — М.: Атомиздат, 1973. — № 3. — С. 27—31.
12. Захаров Ю.П., Оришич А.М., Пономаренко А.Г., Посух В.Г. Экспериментальное исследование эффективности торможения магнитным полем расширяющихся облаков диамагнитной плазмы // Физика плазмы. — 1986. — Т. 12, вып. 10. — С. 1170—1177.
13. Райзер Ю.П. О расширении и превращениях энергии плазмы, расширяющейся в пустом пространстве, в котором имеется магнитное поле // ПМТФ. — 1963. — № 6. — С. 19—28.
14. Keith D. Bonin, Thomas G. Mason. Changing fluorescence in a streaming barium plasma due to an axial magnetic field // Phys. Rev. A. — 1991. — V. 43, N 6. — P. 3005—3014.
15. Zakharov Yu.P., Orishich A.M., Ponomarenko A.G., Shaikhislamov I.F. Electron heating under conditions of anomalous penetration of the magnetic field into expanding plasma blobs // 10th Europ. School on Plasma Physics, Tbilisi, 1990; Paper. — Singapore: World Scient. — 1991. — V. 8. — P. 184—202.
16. Sudo S., Sato K.N., Sekiguchi T. Re-thermalization and flow of laser-produced plasmas in a uniform magnetic field // J. Phys. D: Appl. Phys. — 1978. — V. 11. — P. 389—407.
17. Tuckfield R.G., Schwirzke F. Dynamics of a laser created plasma expanding in a magnetic field // Plasma Phys. — 1969. — V. 11, N 1. — P.11—18.

г. Новосибирск

Поступила 5/V 1993 г.,  
в окончательном варианте — 30/VI 1993 г.